



EM423 – RESISTÊNCIA DOS MATERIAIS

AULA 4

UNIVERSIDADE ESTADUAL DE CAMPINAS

FABIO MAZZARIOL SANTICOLLI – FABIOMAZ@UNICAMP.BR

LAYSE BOERE – LAYSEBOERE@GMAIL.COM

DIAGRAMAS DE ESFORÇOS SOLICITANTES

- Fazer diagramas de esforços solicitantes com funções de singularidade pode ser bem prático.
- Quanto à obtenção das forças cortantes e dos momentos internos, o primeiro passo é descrever os esforços externos e as reações de apoio com funções de singularidade, gerando uma função de carregamento.

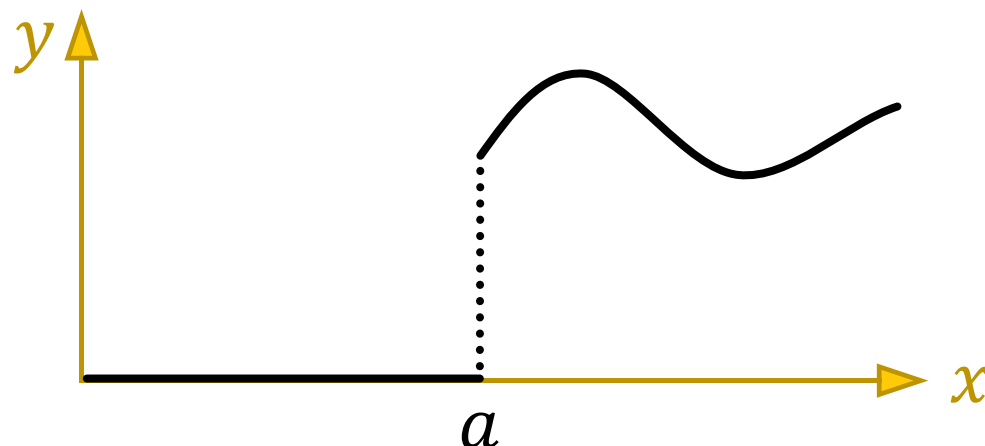
DIAGRAMAS DE ESFORÇOS SOLICITANTES

- Integrando a função de carregamento uma vez chega-se às forças cortantes.
- Integrando as forças cortantes chega-se aos momentos.
- Neste procedimento, não são necessários cortes virtuais (substituindo o método das seções).

FUNÇÕES DE SINGULARIDADE

- Funções de singularidade são funções com comportamentos distintos em torno de um ponto singular.

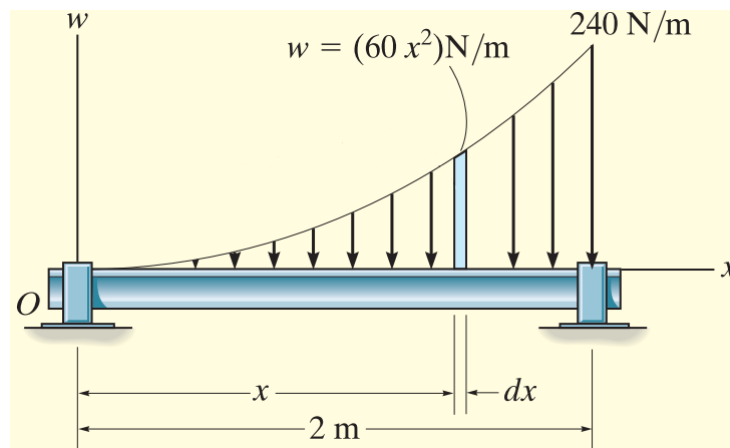
$$y(x) = \langle x - a \rangle^n + \dots$$



DIAGRAMAS DE ESFORÇOS SOLICITANTES

Carregamentos de distribuição quadrática podem ser representados por uma **função parábola unitária**:

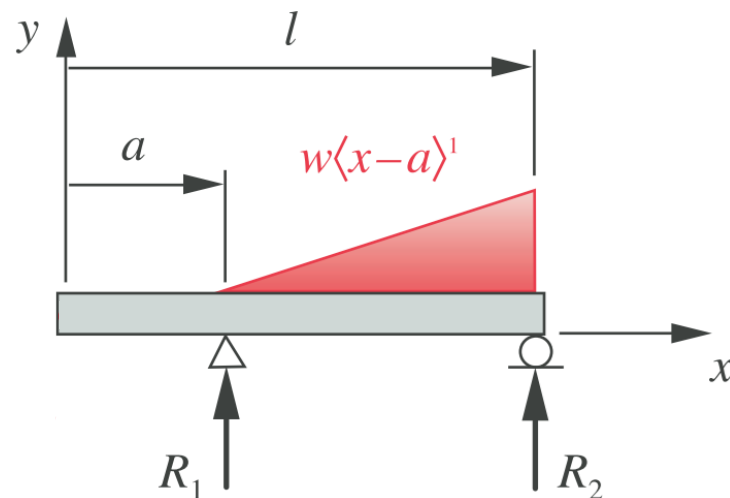
$$\langle x - a \rangle^2 = \begin{cases} 0 & \text{para } x < a \\ (x - a)^2 & \text{para } x \geq a \end{cases}$$



DIAGRAMAS DE ESFORÇOS SOLICITANTES

Carregamentos de distribuição linear podem ser representados por uma **função rampa unitária**:

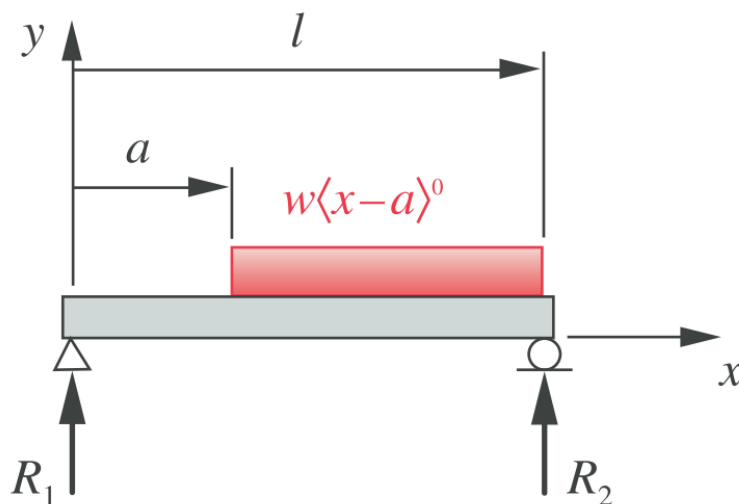
$$\langle x - a \rangle^1 = \begin{cases} 0 & \text{para } x < a \\ (x - a)^1 & \text{para } x \geq a \end{cases}$$



DIAGRAMAS DE ESFORÇOS SOLICITANTES

Carregamentos de distribuição uniforme podem ser representados por uma **função degrau unitário ou Heaviside**:

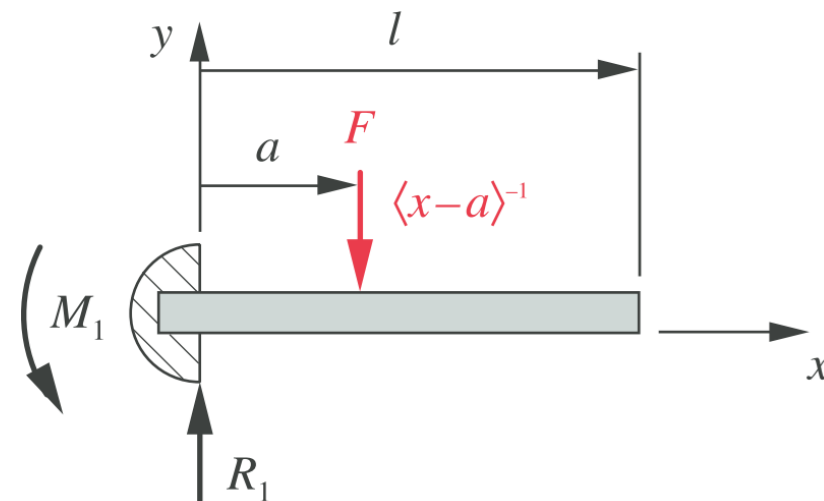
$$\langle x - a \rangle^0 = \begin{cases} 0 & \text{para } x < a \\ 1 & \text{para } x \geq a \end{cases}$$



DIAGRAMAS DE ESFORÇOS SOLICITANTES

Forças concentradas podem ser representadas por uma **função impulso ou Delta de Dirac**:

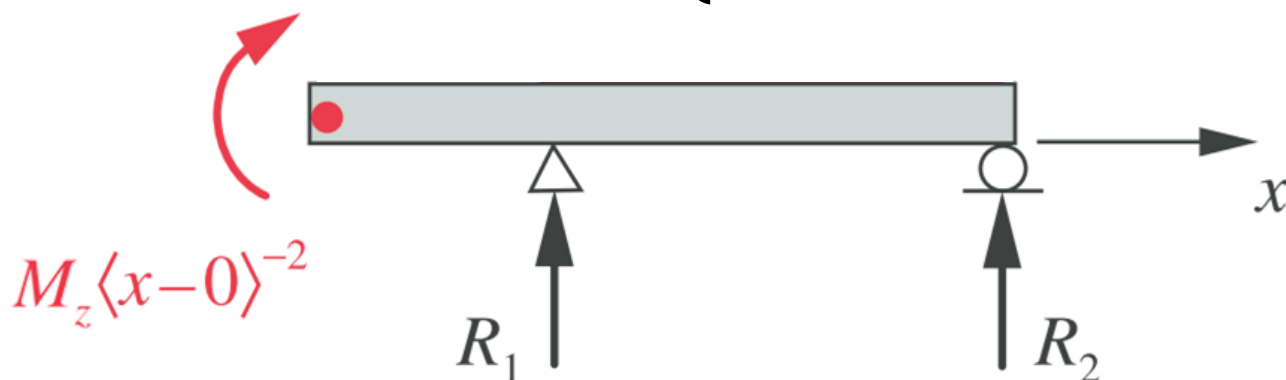
$$\langle x - a \rangle^{-1} = \begin{cases} 0 & \text{para } x < a \\ \infty & \text{para } x = a \\ 0 & \text{para } x > a \end{cases}$$



DIAGRAMAS DE ESFORÇOS SOLICITANTES

Momentos concentrados podem ser representados por uma **função dipolo ou doublet unitária**:

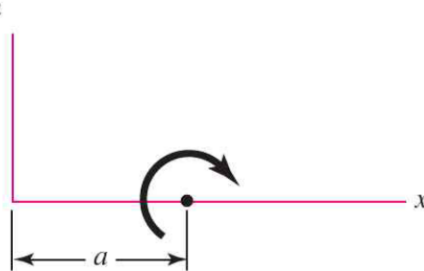
$$\langle x - a \rangle^{-2} = \begin{cases} 0 & \text{para } x < a \\ \pm\infty & \text{para } x = a \\ 0 & \text{para } x > a \end{cases}$$



Função**Gráfico de $f_n(x)$** **Significado**

Momento concentrado
(conjunto unitário)

$$\langle x - a \rangle^{-2}$$



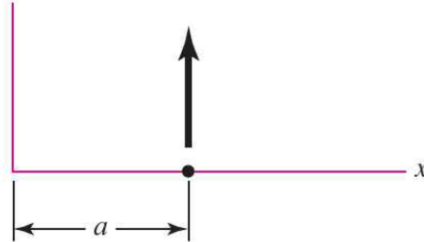
$$\langle x - a \rangle^{-2} = 0 \quad x \neq a$$

$$\langle x - a \rangle^{-2} = \pm\infty \quad x = a$$

$$\int \langle x - a \rangle^{-2} dx = \langle x - a \rangle^{-1}$$

Força concentrada
(impulso unitário)

$$\langle x - a \rangle^{-1}$$



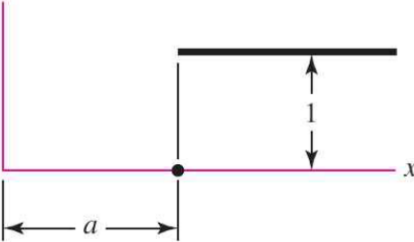
$$\langle x - a \rangle^{-1} = 0 \quad x \neq a$$

$$\langle x - a \rangle^{-1} = +\infty \quad x = a$$

$$\int \langle x - a \rangle^{-1} dx = \langle x - a \rangle^0$$

Degrau unitário

$$\langle x - a \rangle^0$$

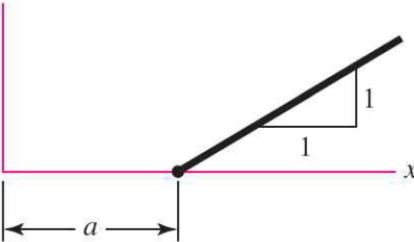


$$\langle x - a \rangle^0 = \begin{cases} 0 & x < a \\ 1 & x \geq a \end{cases}$$

$$\int \langle x - a \rangle^0 dx = \langle x - a \rangle^1$$

Rampa

$$\langle x - a \rangle^1$$



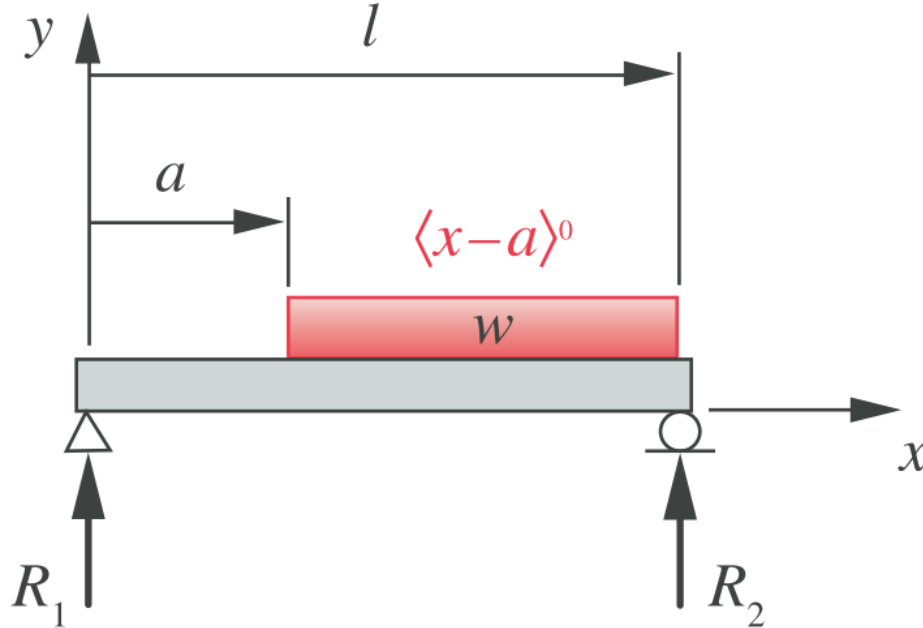
$$\langle x - a \rangle^1 = \begin{cases} 0 & x < a \\ x - a & x \geq a \end{cases}$$

$$\int \langle x - a \rangle^1 dx = \frac{\langle x - a \rangle^2}{2}$$

DIAGRAMAS DE ESFORÇOS SOLICITANTES

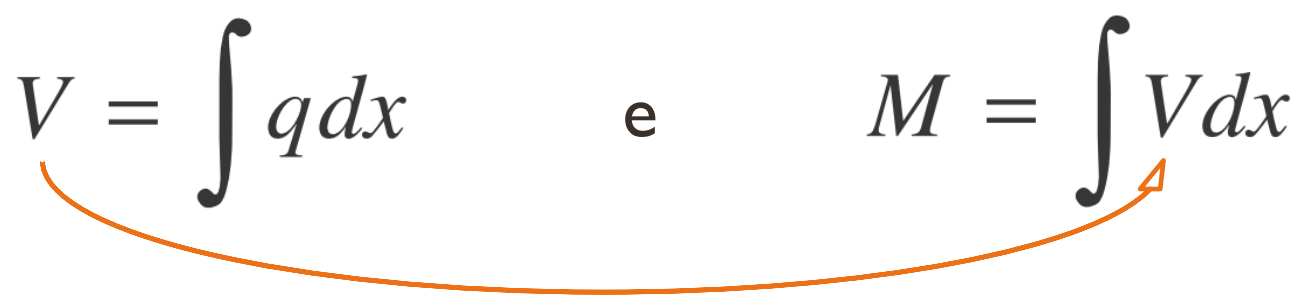
Compondo as funções apresentadas com a magnitude e sinal de cada esforço, é possível obter uma equação para o carregamento da viga toda. Por exemplo:

$$q = R_1 \langle x - 0 \rangle^{-1} - w \langle x - a \rangle^0 + R_2 \langle x - l \rangle^{-1}$$



DIAGRAMAS DE ESFORÇOS SOLICITANTES

É possível chegar aos diagramas de esforços solicitantes por meio das integrais indefinidas dos carregamentos:

$$V = \int q dx \quad \text{e} \quad M = \int V dx$$


Mas quais são as integrais das funções de singularidade?



DIAGRAMAS DE ESFORÇOS SOLICITANTES

Integrais das funções de singularidade:

Integral da parábola unitária:

$$\int \langle x - a \rangle^2 dx = \frac{\langle x - a \rangle^3}{3} + C$$

Integral da rampa unitária:

$$\int \langle x - a \rangle^1 dx = \frac{\langle x - a \rangle^2}{2} + C$$

Integral do degrau unitário:

$$\int \langle x - a \rangle^0 dx = \langle x - a \rangle^1 + C$$

Integral da função impulso:

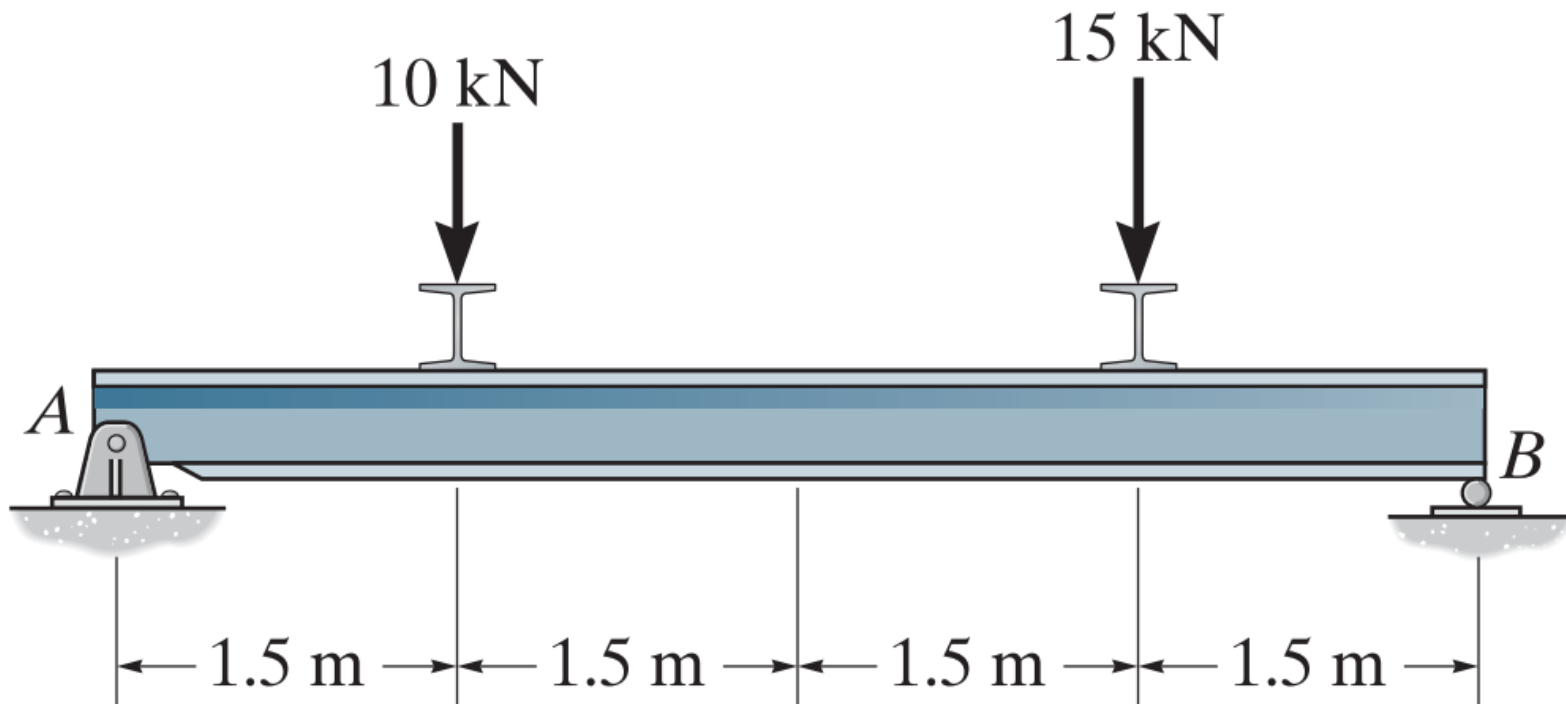
$$\int \langle x - a \rangle^{-1} dx = \langle x - a \rangle^0 + C$$

Integral da função dipolo:

$$\int \langle x - a \rangle^{-2} dx = \langle x - a \rangle^{-1} + C$$

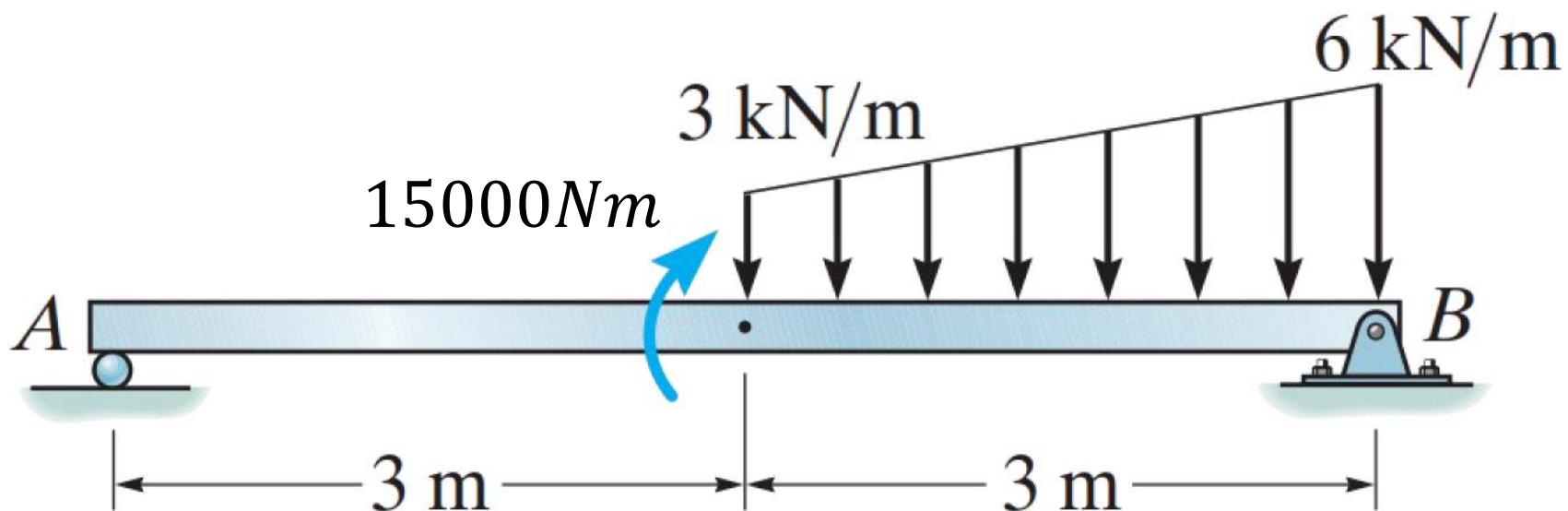
EXERCÍCIO I

■ Faça o diagrama de esforços solicitantes da viga abaixo:



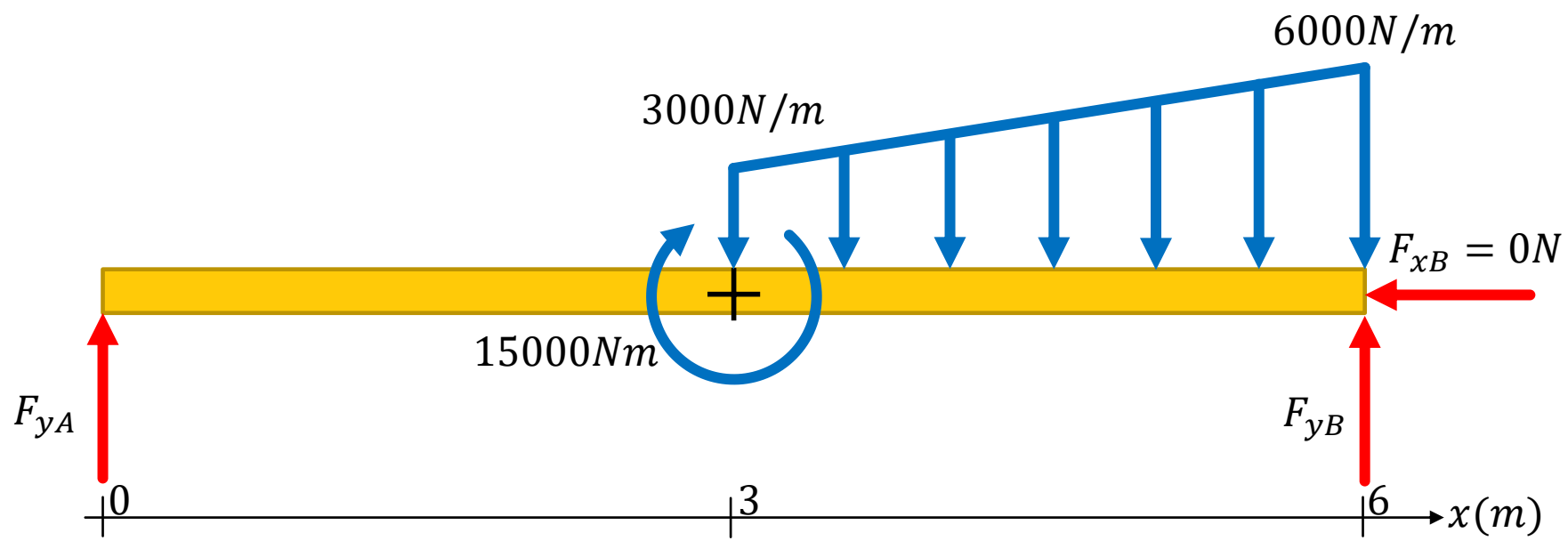
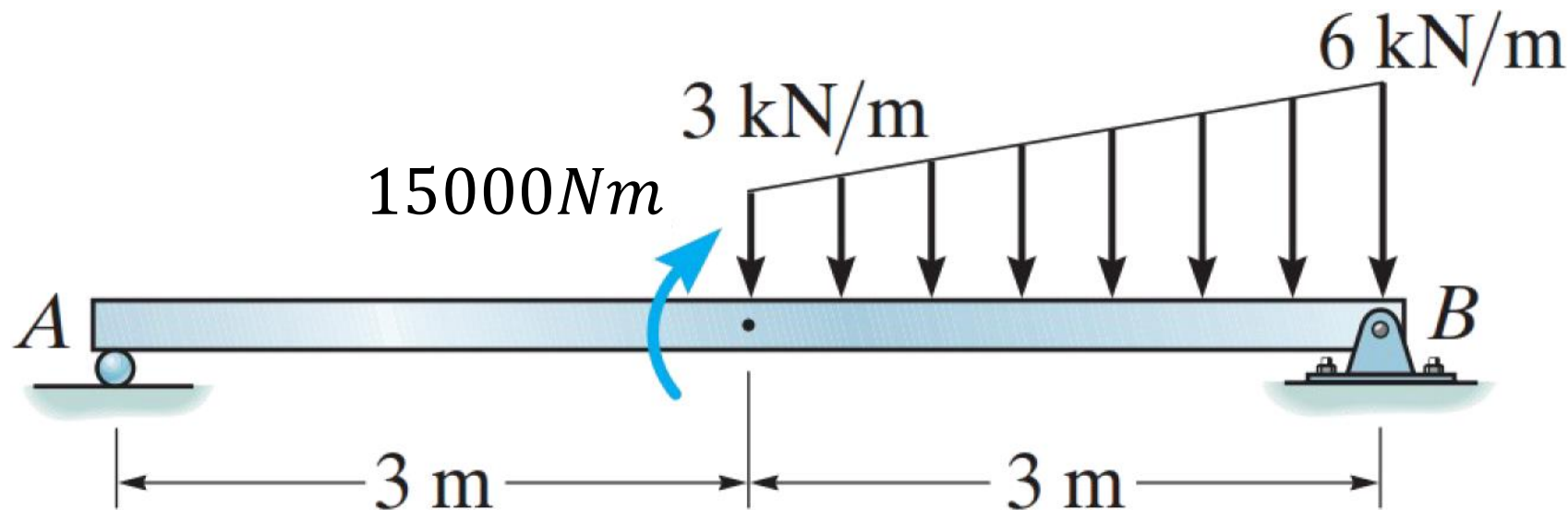
EXERCÍCIO 2

■ Faça o diagrama de esforços solicitantes da viga abaixo:

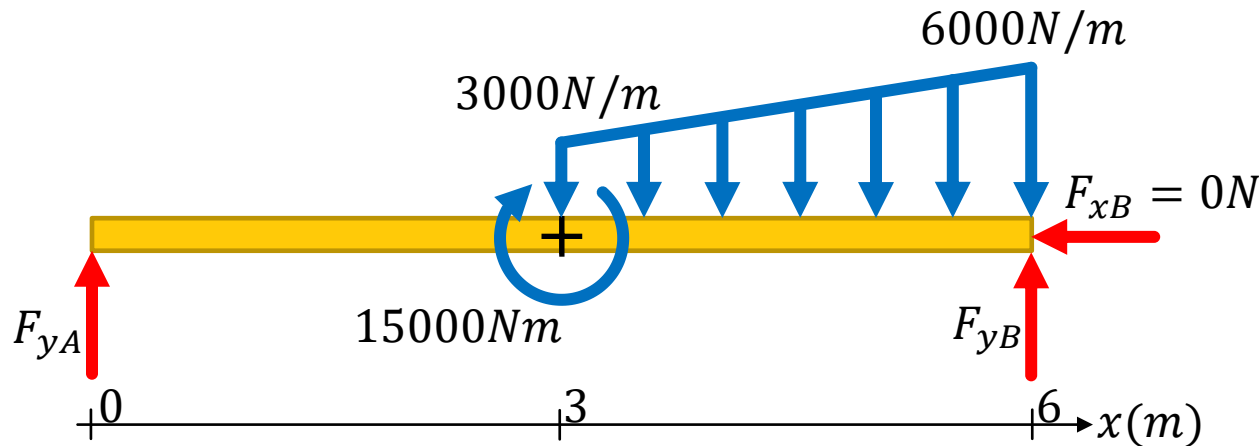


EXERCÍCIO 2 - SOLUÇÃO

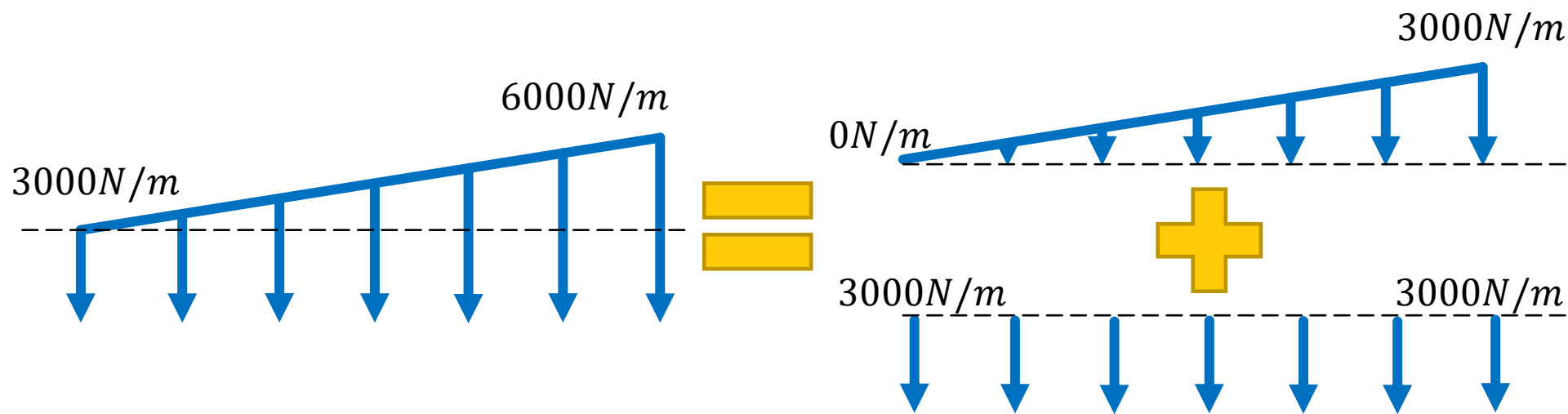
Diagrama de Corpo Livre:



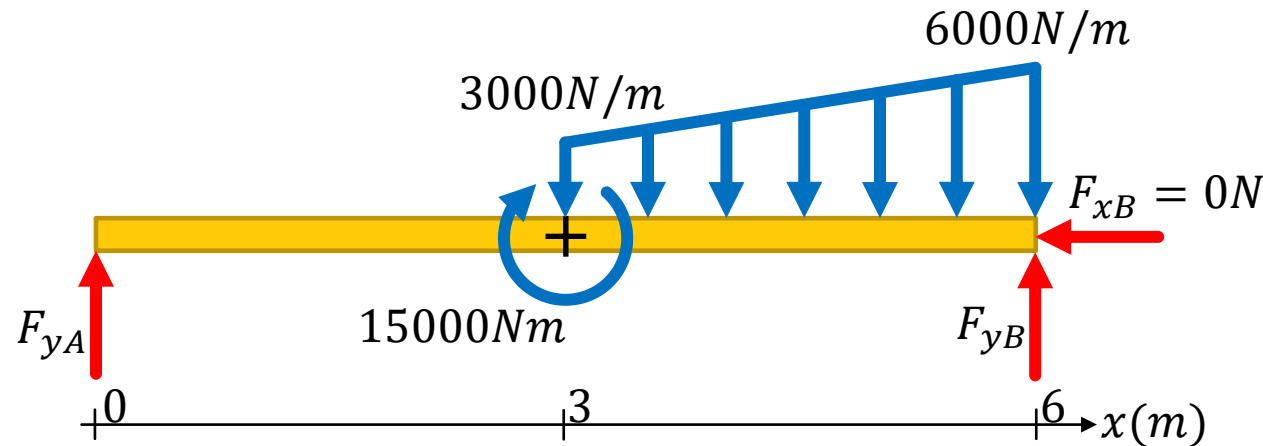
EXERCÍCIO 2 - SOLUÇÃO



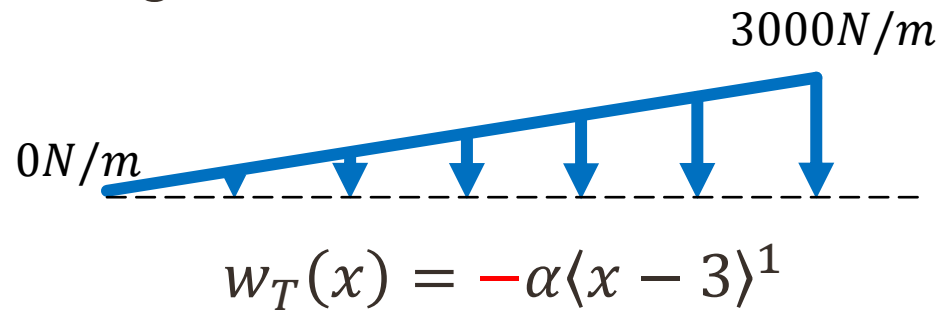
■ Carregamentos distribuídos:



EXERCÍCIO 2 - SOLUÇÃO



■ Carregamento triangular:

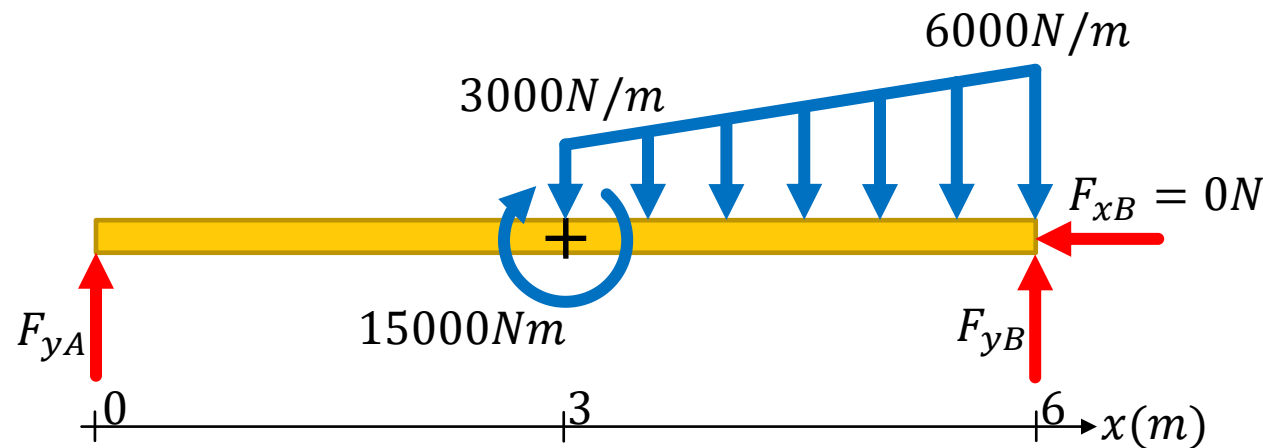


$$w_T(x) = -\alpha(x - 3)^1$$

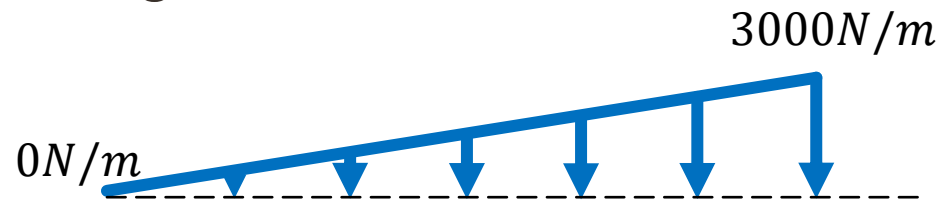
Coeficiente angular:

$$\alpha = \frac{\Delta V}{\Delta H} = \frac{\Delta w_T}{\Delta x}$$

EXERCÍCIO 2 - SOLUÇÃO



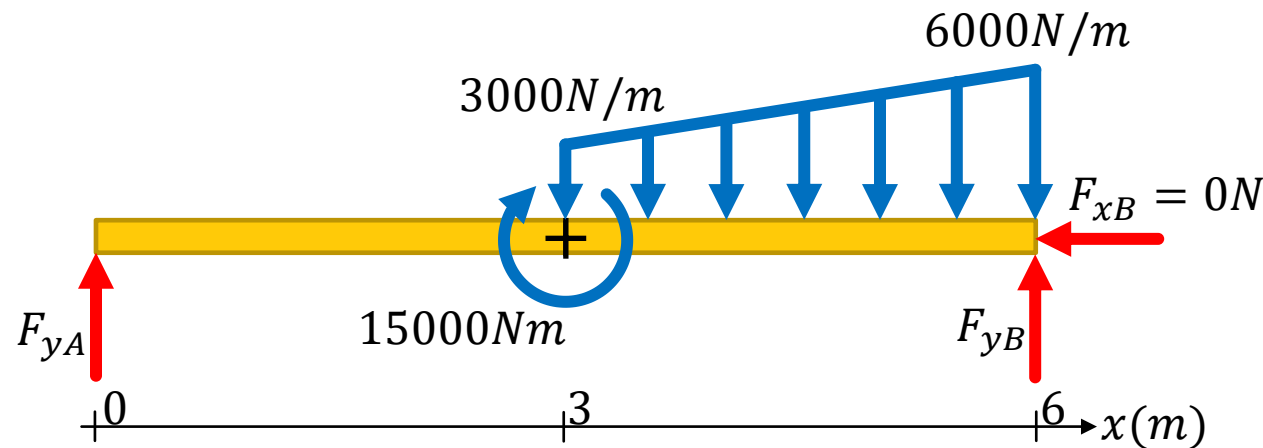
■ Carregamento triangular:



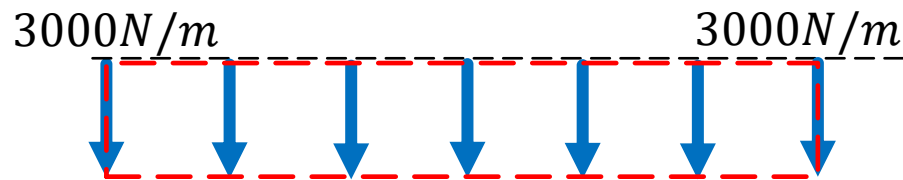
$$\alpha = \frac{\Delta w_T}{\Delta x} = \frac{3000 - 0}{6 - 3} = 1000 \left[\frac{N}{m^2} \right]$$

$$w_T(x) = -\alpha(x - 3)^1 = -1000(x - 3)^1$$

EXERCÍCIO 2 - SOLUÇÃO

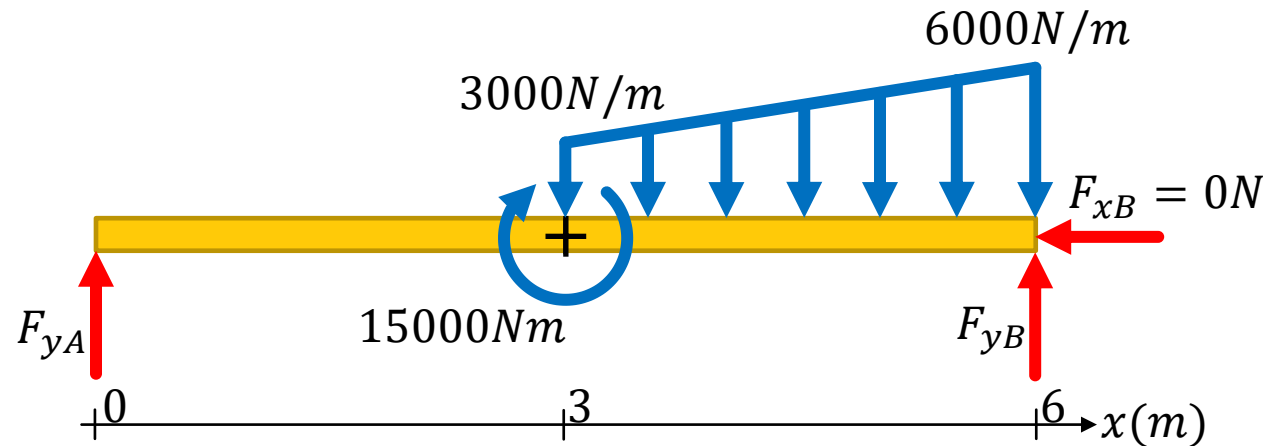


■ Carregamento retangular:



$$w_R(x) = -3000(x - 3)^0$$

EXERCÍCIO 2 - SOLUÇÃO



■ Equação de carregamento:

$$q(x) = F_{yA}(x - 0)^{-1} + 15000(x - 3)^{-2} - 3000(x - 3)^0 - 1000(x - 3)^1 + F_{yB}(x - 6)^{-1}$$

EXERCÍCIO 2 - SOLUÇÃO

Equação de carregamento:

$$q(x) = \underline{F_{yA}(x-0)^{-1}} + \underline{15000(x-3)^{-2}} - \underline{3000(x-3)^0} - \underline{1000(x-3)^1} + \underline{F_{yB}(x-6)^{-1}}$$

Equação de força cortante:

$$V(x) = \int q(x) dx$$

$$\int_{-\infty}^x \langle \lambda - a \rangle^{-1} d\lambda = \langle x - a \rangle^0$$

$$\int_{-\infty}^x \langle \lambda - a \rangle^0 d\lambda = \langle x - a \rangle^1$$

$$\int_{-\infty}^x \langle \lambda - a \rangle^{-1} d\lambda = \langle x - a \rangle^0$$

$$\int_{-\infty}^x \langle \lambda - a \rangle^{-2} d\lambda = \langle x - a \rangle^{-1}$$

$$\int_{-\infty}^x \langle \lambda - a \rangle^1 d\lambda = \frac{\langle x - a \rangle^2}{2}$$

$$V(x) = F_{yA}\langle x - 0 \rangle^0 + \underline{15000\langle x - 3 \rangle^{-1}} - 3000\langle x - 3 \rangle^1 - \underline{500\langle x - 3 \rangle^2} + F_{yB}\langle x - 6 \rangle^0 + C_1$$

$C_1 = 0,$
pois
 $V(0^-) = 0N$

Assim:

$$V(x) = F_{yA}\langle x - 0 \rangle^0 + 15000\langle x - 3 \rangle^{-1} - 3000\langle x - 3 \rangle^1 - 500\langle x - 3 \rangle^2 + F_{yB}\langle x - 6 \rangle^0$$

EXERCÍCIO 2 - SOLUÇÃO

Equação de carregamento:

$$q(x) = F_{yA} \langle x - 0 \rangle^{-1} + 15000 \langle x - 3 \rangle^{-2} - 3000 \langle x - 3 \rangle^0 - 1000 \langle x - 3 \rangle^1 + F_{yB} \langle x - 6 \rangle^{-1}$$

Equação de força cortante:

$$V(x) = F_{yA} \langle x - 0 \rangle^0 + 15000 \langle x - 3 \rangle^{-1} - 3000 \langle x - 3 \rangle^1 - 500 \langle x - 3 \rangle^2 + F_{yB} \langle x - 6 \rangle^0$$

Equação de Momento Fletor:

$$M(x) = \int V(x) dx$$

$$\int_{-\infty}^x \langle \lambda - a \rangle^{-1} d\lambda = \langle x - a \rangle^0$$

$$\int_{-\infty}^x \langle \lambda - a \rangle^2 d\lambda = \frac{\langle x - a \rangle^3}{3}$$

$$\int_{-\infty}^x \langle \lambda - a \rangle^0 d\lambda = \langle x - a \rangle^1$$

$$\int_{-\infty}^x \langle \lambda - a \rangle^1 d\lambda = \frac{\langle x - a \rangle^2}{2}$$

$$\int_{-\infty}^x \langle \lambda - a \rangle^0 d\lambda = \langle x - a \rangle^1$$

$$M(x) = F_{yA} \langle x - 0 \rangle^1 + 15000 \langle x - 3 \rangle^0 - 1500 \langle x - 3 \rangle^2 - 167 \langle x - 3 \rangle^3 + F_{yB} \langle x - 6 \rangle^1 + C_2$$

$C_2 = 0$, pois
 $M(0^-) = 0 Nm$

Assim:

$$M(x) = F_{yA} \langle x - 0 \rangle^1 + 15000 \langle x - 3 \rangle^0 - 1500 \langle x - 3 \rangle^2 - 167 \langle x - 3 \rangle^3 + F_{yB} \langle x - 6 \rangle^1$$

EXERCÍCIO 2 - SOLUÇÃO

■ Reações de apoio:

Utilizar condições de contorno para $x = l^+ \begin{cases} V(l^+) = 0N \\ M(l^+) = 0Nm \end{cases}$

nesse caso $x = 6^+$

$$V(6^+) = F_{yA} \underbrace{\langle 6^+ - 0 \rangle^0}_{\text{Grau 0: Função Degrau}} + 15000 \langle 6^+ - 3 \rangle^{-1} - 3000 \langle 6^+ - 3 \rangle^1 - 500 \langle 6^+ - 3 \rangle^2 + F_{yB} \langle 6^+ - 6 \rangle^0$$

Grau 0: Função Degrau

$$\langle x - a \rangle^0 = \begin{cases} 0 & \text{para } x < a \\ 1 & \text{para } x \geq a \end{cases}$$

$$V(6^+) = F_{yA} * 1 + \dots$$

EXERCÍCIO 2 - SOLUÇÃO

■ Reações de apoio:

Utilizar condições de contorno para $x = l^+$ $\begin{cases} V(l^+) = 0N \\ M(l^+) = 0Nm \end{cases}$
nesse caso $x = 6^+$

$$V(6^+) = F_{yA} \langle 6^+ - 0 \rangle^0 + 15000 \underbrace{\langle 6^+ - 3 \rangle^{-1}}_{\text{Grau - I: Função Impulso}} - 3000 \langle 6^+ - 3 \rangle^1 - 500 \langle 6^+ - 3 \rangle^2 + F_{yB} \langle 6^+ - 6 \rangle^0$$

Grau - I: Função Impulso

$$\langle x - a \rangle^{-1} = \begin{cases} 0 \text{ para } x < a \\ \infty \text{ para } x = a \\ 0 \text{ para } x > a \end{cases}$$

$$V(6^+) = F_{yA} * 1 + 15000 * \underline{0} + \dots$$

EXERCÍCIO 2 - SOLUÇÃO

■ Reações de apoio:

Utilizar condições de contorno para $x = l^+ \begin{cases} V(l^+) = 0N \\ M(l^+) = 0Nm \end{cases}$

nesse caso $x = 6^+$

$$V(6^+) = F_{yA}(6^+ - 0)^0 + 15000(6^+ - 3)^{-1} - 3000\underline{(6^+ - 3)^1} - 500(6^+ - 3)^2 + F_{yB}(6^+ - 6)^0$$

Grau I: Função Rampa

$$\langle x - a \rangle^1 = \begin{cases} 0 \text{ para } x < a \\ (x - a)^1 \text{ para } x \geq a \end{cases}$$

$$V(6^+) = F_{yA} * 1 + 15000 * 0 - 3000 * \underline{(6 - 3)^1} + \dots$$

EXERCÍCIO 2 - SOLUÇÃO

■ Reações de apoio:

Utilizar condições de contorno para $x = l^+ \begin{cases} V(l^+) = 0N \\ M(l^+) = 0Nm \end{cases}$
nesse caso $x = 6^+$

$$V(6^+) = F_{yA}(6^+ - 0)^0 + 15000(6^+ - 3)^{-1} - 3000(6^+ - 3)^1 - 500\underline{(6^+ - 3)^2} + F_{yB}(6^+ - 6)^0$$

Grau 2: Função Parábola

$$(x - a)^2 = \begin{cases} 0 \text{ para } x < a \\ (x - a)^2 \text{ para } x \geq a \end{cases}$$

$$V(6^+) = F_{yA} * 1 + 15000 * 0 - 3000 * (6 - 3)^1 - 500 * \underline{(6 - 3)^2} + \dots$$

EXERCÍCIO 2 - SOLUÇÃO

■ Reações de apoio:

Utilizar condições de contorno para $x = l^+ \begin{cases} V(l^+) = 0N \\ M(l^+) = 0Nm \end{cases}$

nesse caso $x = 6^+$

$$V(6^+) = F_{yA}(6^+ - 0)^0 + 15000(6^+ - 3)^{-1} - 3000(6^+ - 3)^1 - 500(6^+ - 3)^2 + F_{yB}(6^+ - 6)^0$$

Grau 0: Função Degrau

$$\langle x - a \rangle^0 = \begin{cases} 0 & \text{para } x < a \\ 1 & \text{para } x \geq a \end{cases}$$

$$V(6^+) = F_{yA} * 1 + 15000 * 0 - 3000 * (6 - 3)^1 - 500 * (6 - 3)^2 + F_{yB} * 1 = 0$$

$$F_{yA} + F_{yB} = 13500$$

EXERCÍCIO 2 - SOLUÇÃO

■ Reações de apoio:

Utilizar condições de contorno para $x = l^+$ $\begin{cases} V(l^+) = 0N \\ M(l^+) = 0Nm \end{cases}$

nesse caso $x = 6^+$

Já temos a primeira equação: $F_{yA} + F_{yB} = 13500$

Segunda equação virá de $M(6^+)$:

$$M(6^+) = F_{yA}(6^+ - 0)^1 + 15000(6^+ - 3)^0 - 1500(6^+ - 3)^2 - 167(6^+ - 3)^3 + F_{yB}(6^+ - 6)^1$$

$$M(6^+) = F_{yA} * 6^1 + 15000 * 1 - 1500 * (6 - 3)^2 - 167 * (6 - 3)^3 + F_{yB} * (6 - 6)^1 = 0$$

$$F_{yA} = 500N$$

Substituindo F_{yA} na primeira equação:

$$F_{yB} = 13000N$$

EXERCÍCIO 2 - SOLUÇÃO

■ Reescrever equação de Força Cortante:

$$V(x) = 500(x - 0)^0 + 15000(x - 3)^{-1} - 3000(x - 3)^1 - 500(x - 3)^2 + 13000(x - 6)^0$$

■ Reescrever equação de Momento Fletor:

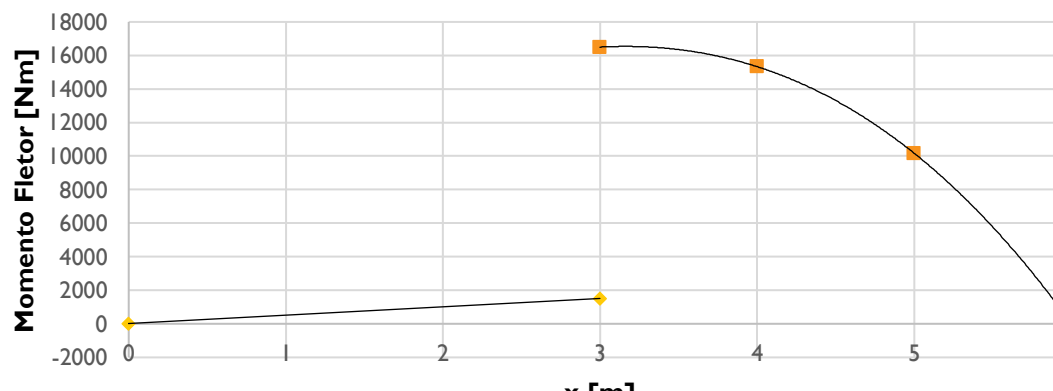
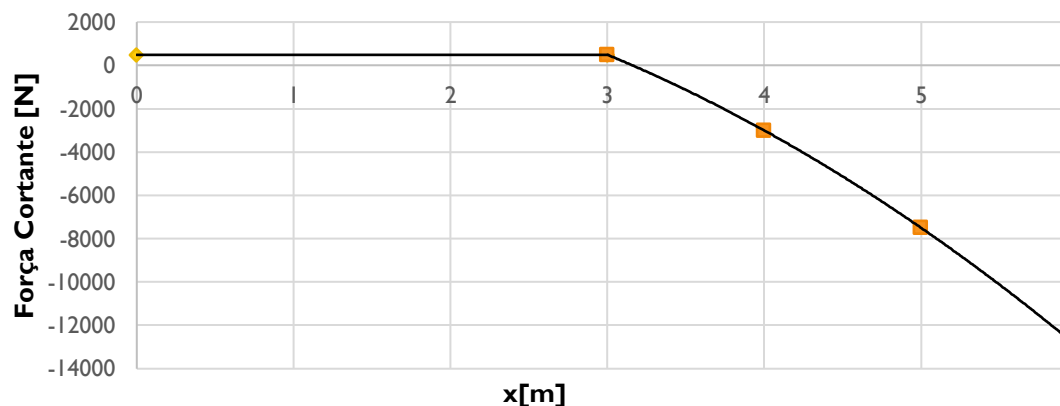
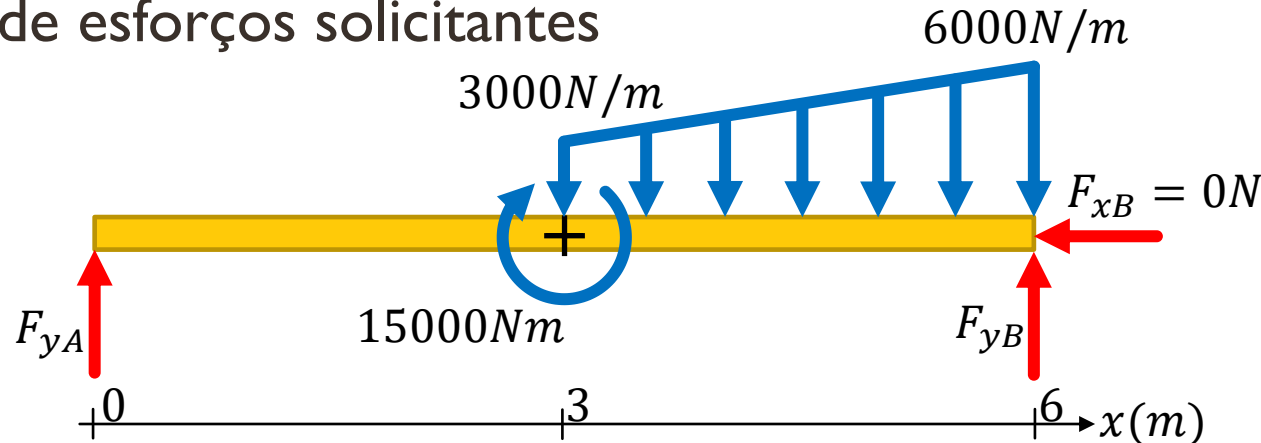
$$M(x) = 500(x - 0)^1 + 15000(x - 3)^0 - 1500(x - 3)^2 - 167(x - 3)^3 + 13000(x - 6)^1$$

■ Tabela de Valores:

X[m]	V(x)[N]	M(x)[Nm]
0 ⁺	500	0
3 ⁻	500	1500
3 ⁺	500	16500
4	-3000	15333
5	-7500	10164
6 ⁻	-13000	-9

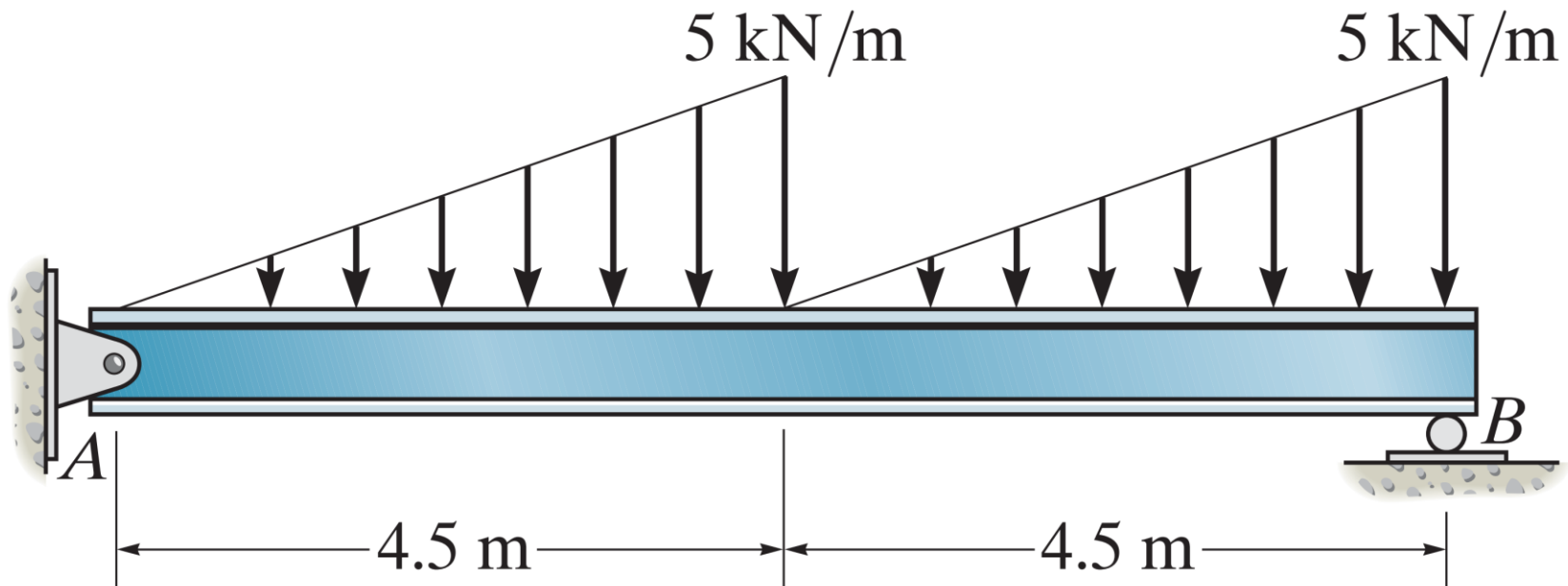
EXERCÍCIO 2 - SOLUÇÃO

Diagramas de esforços solicitantes



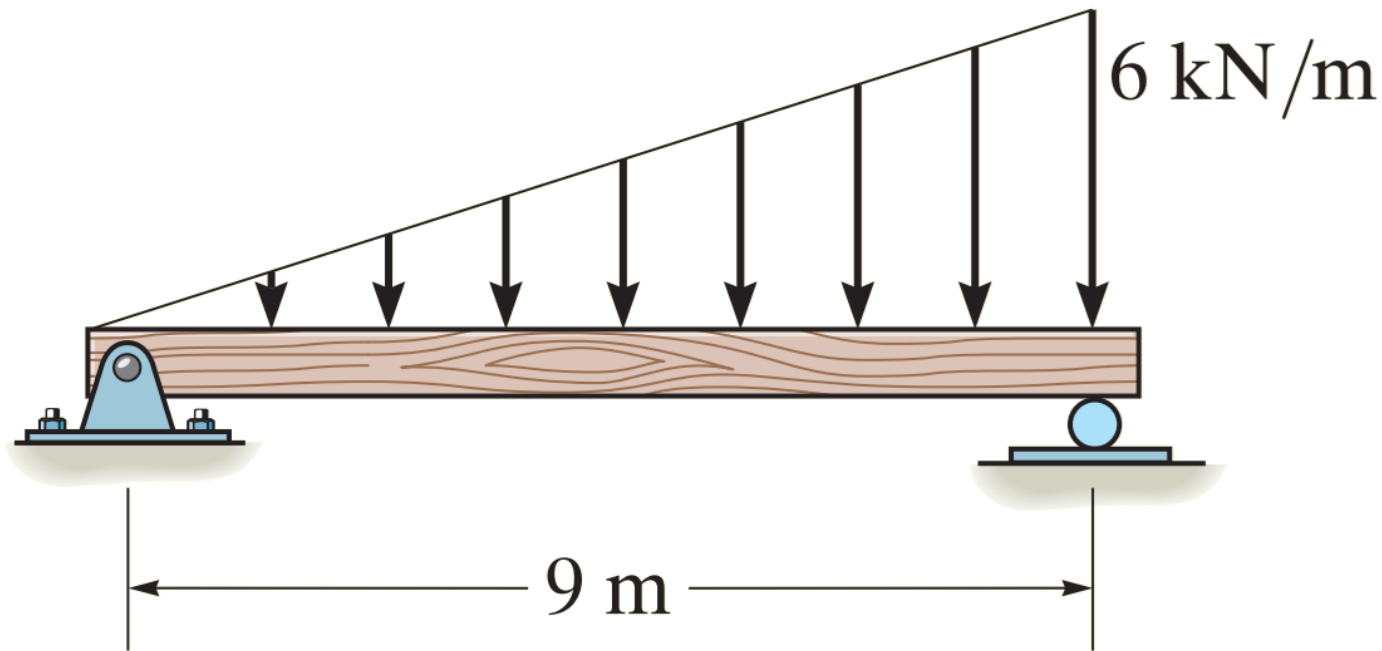
EXERCÍCIO 3

■ Faça o diagrama de esforços solicitantes da viga abaixo:



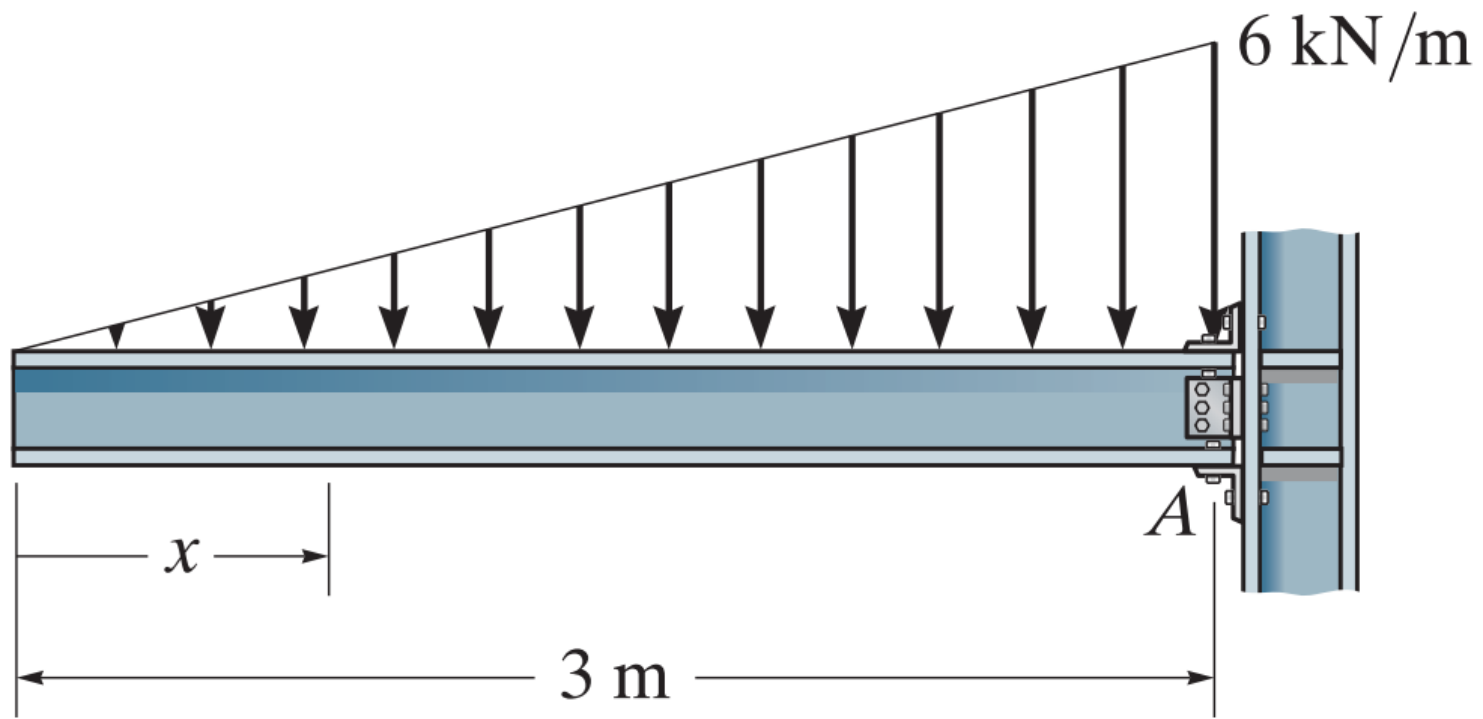
EXERCÍCIO 4

■ Faça o diagrama de esforços solicitantes da viga abaixo:



EXERCÍCIO 5

■ Faça o diagrama de esforços solicitantes da viga abaixo:



REFERÊNCIAS

- GERE, J. M. Mecânica dos materiais. Tradução da: 7. edição americana São Paulo, SP: Cengage Learning, 2011. E-BOOK.
- HIBBELER, R. C., Resistência de materiais. Prentice Hall, 2010.
- SCHIEL, F. - Introdução à resistência dos materiais, apostila, vol. I, Escola de Engenharia de São Carlos, depto de publicações.
- COELHO, E.; MORI, D. e outros - Exercícios propostos de resistência dos materiais - Escola de Engenharia de São Carlos, depto de publicações.
- NASH, W. - Resistência dos materiais, coleção SCHAUM, Ed. Mc Graw Hill.
- BEER, Ferdinand - Resistência dos materiais, Ed. Mc Graw Hill.
- TIMOSHENKO, S. - Resistência dos Materiais, Ed. livros técnicos e científicos, vol. I.
- WILLEM, N.; EASLEY, J.; ROLFE, S. - Resistência dos materiais, Ed. Mc Graw Hill.